

этот конус можно выявить полупогребенные формы рельефа (в виде холмов, валов и т.д.). С юга-востока граница морских террас осложнена дюнными песками вдоль северной окраины Махачкалы. В 5 км от крутого изгиба берега на север (в районе Караман), можно провести линию условного прекращения влияния выходов слабоабрадируемых дохвалыньских пород.

Зона развития хвалыньских и низких хазарских террас к северо-западу от Махачкалы вытянута на протяжении 40 км. В районе Махачкалы ширина зоны до 7 км. Далее к северо-западу расширяется до 9 км. Еще далее к северо-западу резко сокращается до 3 км, вплоть до сел.Кульзеб. Северо-западнее него практически замещается конусом выноса р.Сулак. Общая площадь данного региона развития морских террас около 250 кв.км.

Литература:

1. Милановский Е.Е. Новейшая тектоника Кавказа. М., 1968. 482с.
2. Рычагов Г.И. Плейстоценовая история развития Каспийского моря. М.: Изд-во МГУ, 1997. 268с.
3. Фотеева Н.И. Рельеф Восточного Дагестана. дисс.канд.геогр.наук. М., 1954. 458с.
4. Геоморфология морских берегов и дна Каспийского моря. Леонтьев О.К., Маев Е.Г., Рычагов Г.И. М.: Изд-во МГУ, 1977. 208с.
5. Комплексные исследования Каспийского моря. Под ред. О.К.Леонтьева. М.: Изд-во МГУ, Вып. 5. 1977.

ЧУКОТСКОЕ МОРЕ. СТРОЕНИЕ И РАЗВИТИЕ УШАКОВСКОЙ ПОСТСЕДИМЕНТАЦИОННОЙ АНТИКЛИНАЛЬНОЙ СТРУКТУРЫ

Ихсанов Булат Ильдарович

Геологический факультет МГУ, Москва, bulat2004@mail.ru

Основным элементом развития экономики России в целом, а также Дальневосточного и Сибирского федеральных округов является состояние топливно-энергетического комплекса. В настоящее время одной из проблем дальнейшего развития топливно-энергетической базы является изучение геологического строения Арктических осадочных бассейнов — основной ресурсной базы XXI века.

В данной работе рассмотрены строение и развитие постседиментационной антиклинальной структуры, известной под названием Ушаковская, расположенной в тектонически осложнённой юго-западной части Лонгско-Чукотского осадочного бассейна Чукотского моря.

На рисунке 1 показана схема изученности исследуемой акватории 2D сейсморазведкой компаниями ДМНГ и TGS с нанесённой на неё Ушаковской структурой.

В зоне, в которой находится рассмотренная структура, происходит смена направления тренда разломов, расположенных в южной части Чукотского моря, с северо-западного на, преимущественно, северо-северо-западное направление (рисунок 2).

На временных разрезах (Рисунок 3) поднятие чётко выделяется в виде двух основных и нескольких сопровождающих пиков, захватывающих большую часть осадочного чехла, начиная с акустического фундамента и до, предположительно, кровли среднемиоценовых отложений.

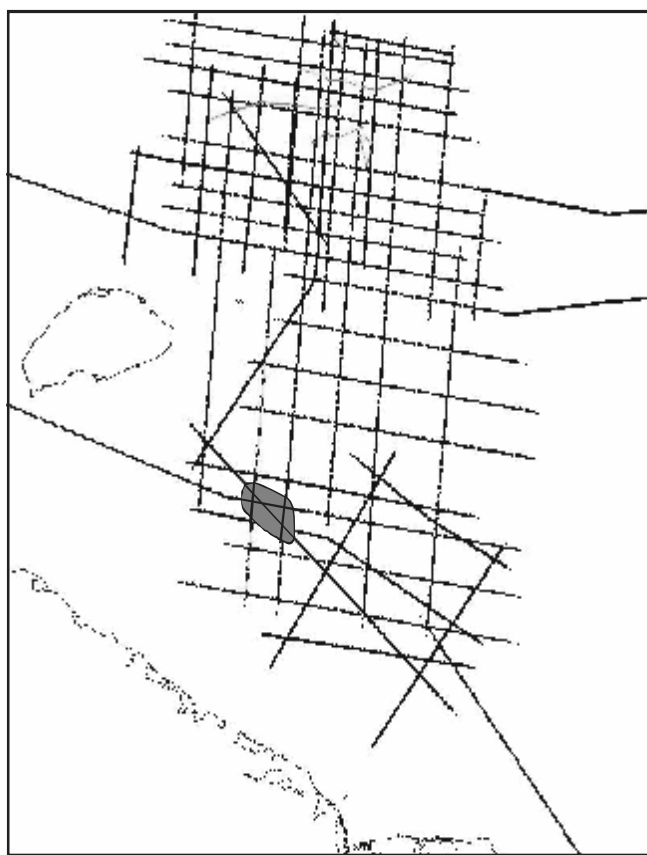


Рисунок 1. Схема изученности Чукотского моря.

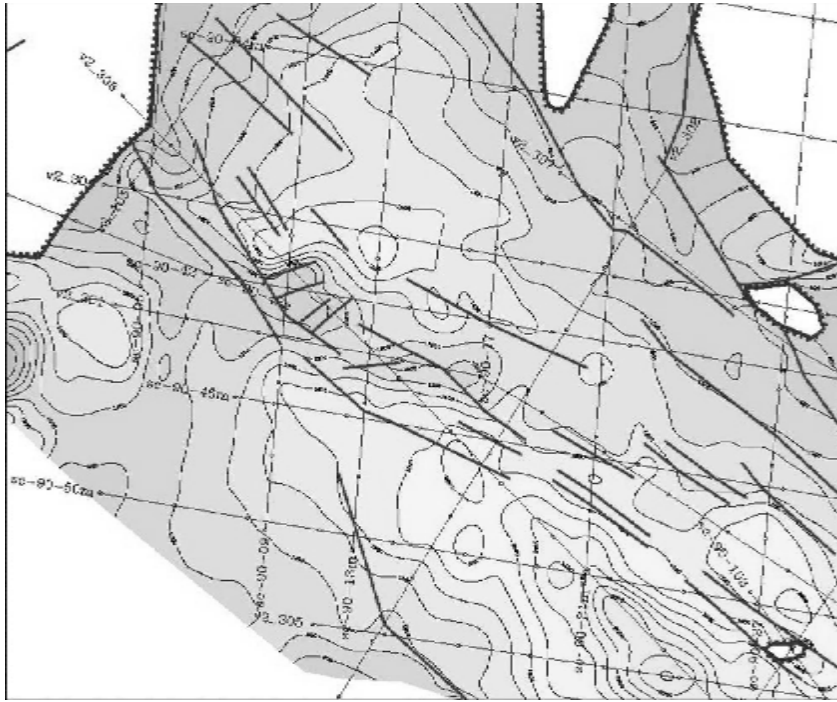


Рисунок 2. Схема расположения разломов в районе Ушаковской структуры.

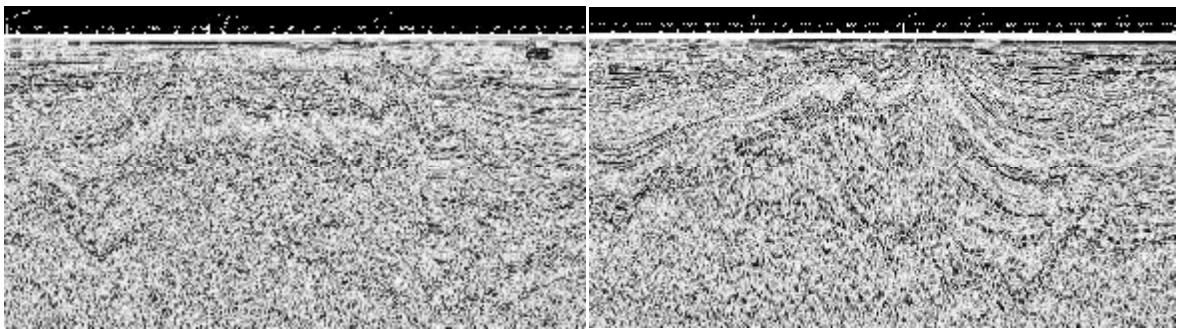


Рисунок 3. Временные разрезы по профилям, проходящим через Ушаковскую структуру.

Рассмотрим историю развития Ушаковской структуры. Опираясь на проведённую корреляцию, стало возможным поэтапное представление изменений происходивших в осадочном чехле акватории Чукотского моря. Выделенные горизонты соответствуют акустическому фундаменту и несогласным границам, разделяющим, отложения предположительно верхнемелового (с апт, альба), палеоцен-эоцен, олигоценового-среднемиоценового, верхнемиоценового и четвертичного возрастов (специалисты компаний ВР и “НК-Роснефть”).

1. На временном разрезе, с выравниванием горизонтов по несогласию MZ-KZ, по степенному распределению мощности осадочного чехла однозначно выделяется рифтовая структура, имевшая место в альб-допалеоценовое время (Рисунок 4).

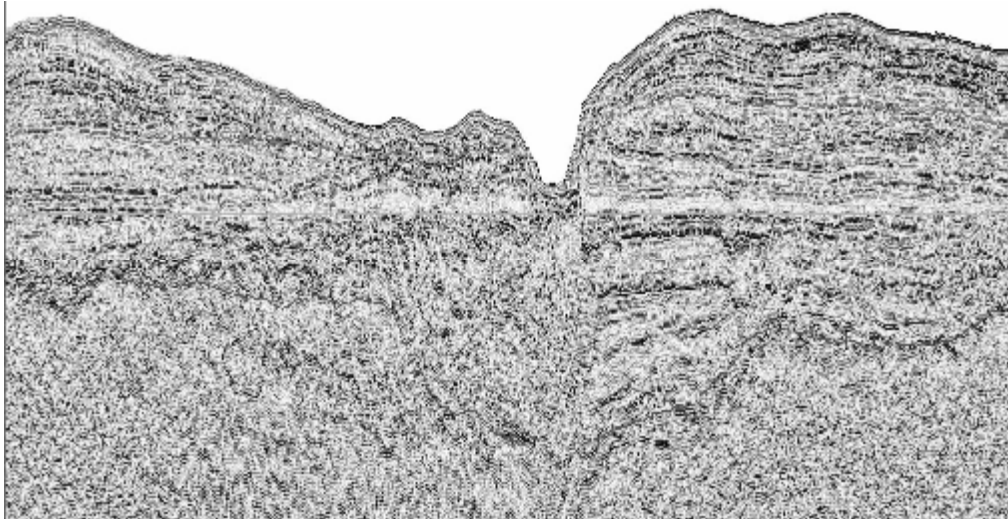


Рисунок 4. Временной разрез, выровненный по MZ-PZ несогласию.

2. Вторым этапом следует выделение временного интервала палеоцен-эоцен, который характеризуется началом деформаций, а именно, поднятием в южной части структуры, что на временном разрезе характеризуется утонением осадочной толщи в области 1 (рисунок 5) и восстановлением её далее на север.

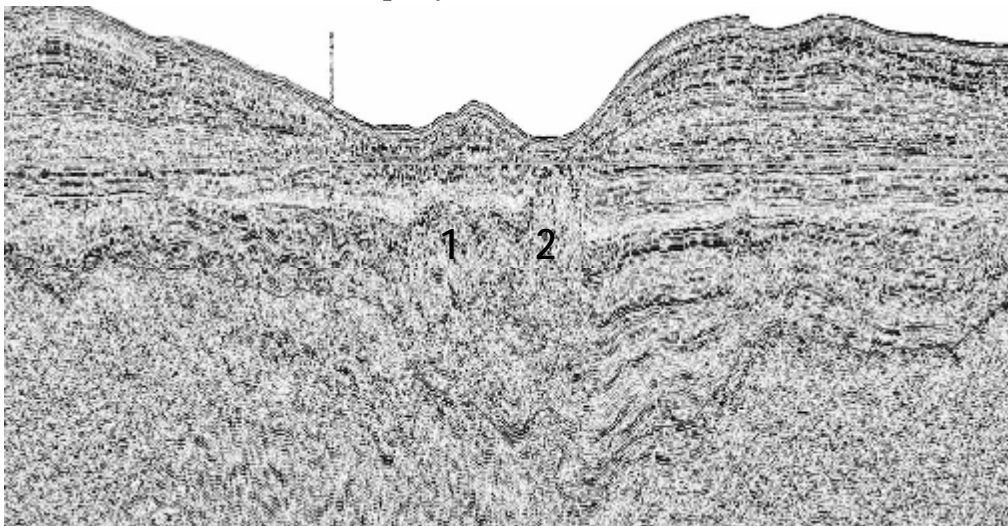


Рисунок 5. Временной разрез, выровненный по кровле эоцен-олигоценового комплекса.

3. На следующей картине наблюдается умеренное продолжение роста южного пика структуры и активное развитие области 2 (Рисунок 6), что характеризуется заметным утонением осадочного чехла олигоцен-среднемиоценового возраста при движении к областям 1 и 2 в северном и южном направлениях соответственно.

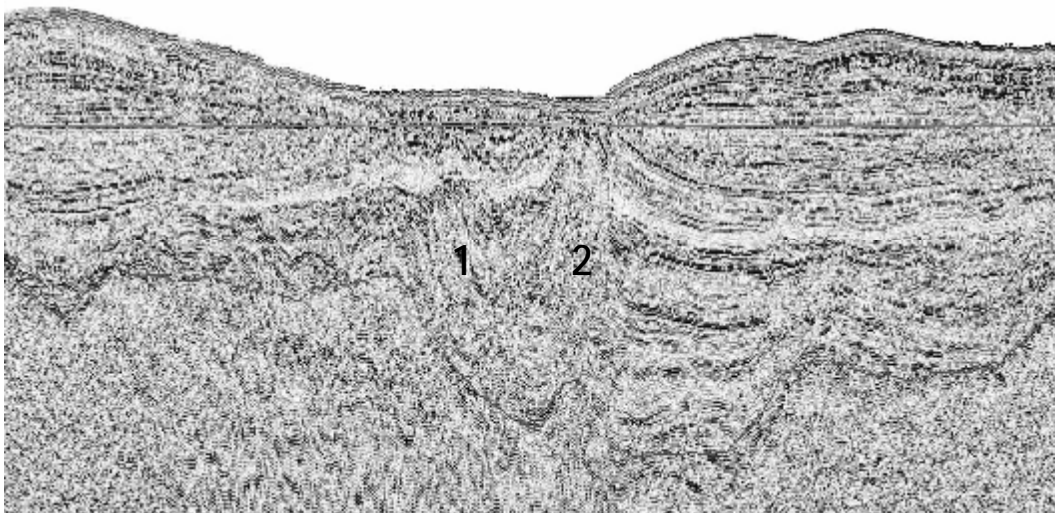


Рисунок 6. Временной разрез, выровненный по кровле среднего миоцена.

4. На завершении верхнего миоцена имеет место равномерное перекрытие ранних толщ, что характеризует обстановку осадконакопления в отсутствии процесса поднятия (Рисунок 7).

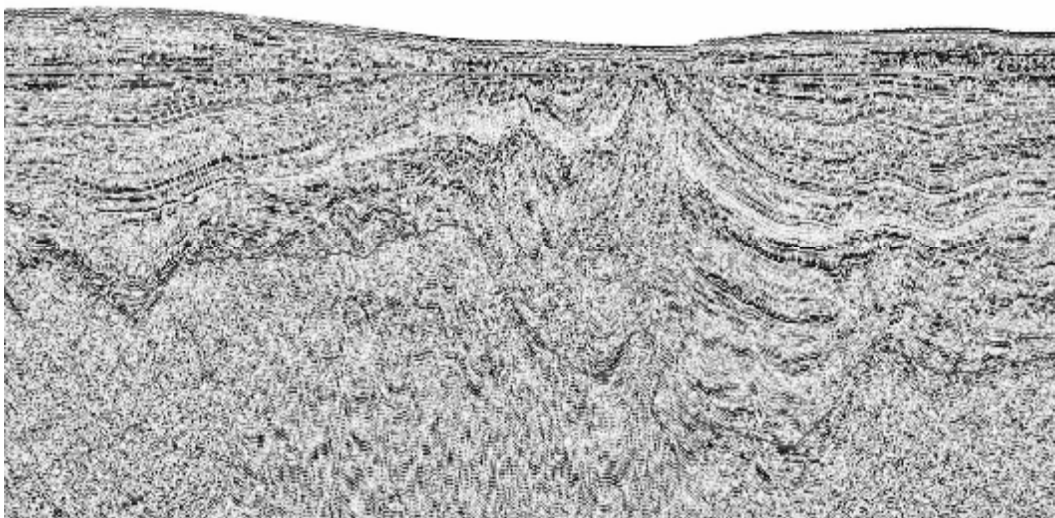


Рисунок 7. Временной разрез, выровненный по кровле верхнего миоцена.

В результате видно, что основным временем структурообразования разумно предположить интервал времени от палеоцена до верхнего миоцена. Также подтверждается мнение о постседиментационном развитии Ушаковского поднятия. По форме строения, наблюдаемой на временных разрезах можно сделать вывод о том, что причинами формирования данной структуры могли явиться как сжатие субмеридианального направления, так и сдвиги, когда происходит сжатие в зоне изгиба плоскости скольжения двух блоков [1].

Литература:

1. Б. А. Натальин. Позднемеловые – третичные деформации Чукотского полуострова и происхождение бассейна Хоуп и надвигового пояса Геральда (Чукотское море). ГЕОТЕКТОНИКА, 1999, № 6, с. 76-93.

**НЕФТЕМАТЕРИНСКИЙ ПОТЕНЦИАЛ ПАЛЕОЗОЙСКИХ
ОТЛОЖЕНИЙ БАРАНДОВА СИНКЛИНОРИЯ, ЧЕХИЯ**

Каюкова Алина Владимировна, Смирнова Мария Евгеньевна

*Московский государственный университет имени М.В.Ломоносова,
геологический факультет, кафедра геологии и геохимии горючих ископаемых
Москва, poludetkinaelena@mail.ru*

Район центральной и западной Богемии (Богемский массив) является классическим объектом изучения геологов и палеонтологов всего мира. Достаточно простое геологическое строение этой области, обилие ископаемых организмов делают отложения Баррандова синклинория очень интересным с точки зрения геологии.

Данная работа является результатом пройденной геологической практики в Чехии, в окрестностях Праги. Целью данной работы явилось выделение нефтематеринских пород в разрезе палеозойских глинисто-карбонатных отложений Баррандова синклинория. В обнажениях были отобраны граптолитовые сланцы, аргиллиты, известняки и карбонатные глины ордовик-силур-девонского возраста.

Важным этапом в идентификации материнской породы является определение типа ОВ и состава УВ, извлекаемых растворителями. Для решения вопросов о типе ОВ и степени его катагенетической преобразованности были выполнены люминесцентно-битуминологический анализ, определение содержания органического углерода (Сорг), экстракция битуминозных компонентов ОВ из породы, петрографическое изучение пород и рассеянного в них ОВ, пиролиз по методу Rock Eval. Изучение выделяемых из породы растворимых компонентов рассеянного органического вещества (РОВ) позволило выявить детальные особенности РОВ и его фракций. Индивидуальный состав насыщенных УВ изучался методом газожидкостной хроматографии для определения индивидуального состава n-алканов, изопреноидов ациклического строения. Выделение концентратов НОВ (нерастворимого органического вещества) проводилось в глинистых породах. При помощи углепетрографического изучения ОВ пород был установлен тип и фациальные условия образования концентрированного ОВ и степень его преобразованности в